



## Raport

z badań poziomu natężenia pola elektrycznego  
w otoczeniu stacji bazowej:

# OLE3071

na podstawie sprawozdania P4/127/2023 udostępnionego przez A-CONNECT Anna Garwol-Porosa

---

### Laboratorium prowadzące badania

A-CONNECT Anna Garwol-Porosa  
Strażacka 3/2  
58-370 Boguszów-Gorce  
692 692 875

### Zleceniodawca badań

P4 Sp. z o.o.  
  
02-677 Warszawa  
790 500 500  
kontakt@play.pl

Nr akredytacji: AB 1284

Data wydania sprawozdania: 13.04.2023

Raport zawiera wybrane elementy sprawozdania i służy wyłącznie obrazowemu przedstawieniu informacji o danej instalacji. Raport nie może być wykorzystywany w postępowaniach administracyjnych.

## Informacje ogólne

Zgodność z metodyką RMK: Tak

Ograniczenia: Na podstawie art. 122a ust. 1b ustawy Prawo ochrony środowiska (t.j. Dz.U. z 2020 r., poz. 1219, 1378, 1565, 2127, 2338, z 2021 r. poz. 802, 868, 1047, 1162, 1535.), pomiary PEM w lokalach mieszkalnych i użytkowych zlokalizowanych w obszarze pomiarowym badanej stacji bazowej nie zostały przeprowadzone.

Wykorzystanie w obszarze regulowanym: Tak

## Przedmiot badań

Identyfikator stacji w UKE	OLE3071
Operator	P4 Sp. z o.o.
Współrzędne	17,6179270; 51,2781440
Rodzaj pracy	ciągła
Rodzaj wytwarzanego pola	stacjonarne

## Miejsce badań

Otoczenie stacji bazowej OLE3071 w lokalizacji Stradomia Wierzchnia, dz. nr 70.

## Cel badań

1. Zweryfikowanie zgodności z wymaganiami rozporządzenia Ministra Zdrowia z dnia 19 grudnia 2019 r.

# Opis stacji bazowych

Tabela 1: Opis anten badanych stacji bazowych

Lp.	Identyfikator stacji w UKE	Typ Producent anteny	Azymut	H	EIRP	Pasmo	Tilt	Tilt w trakcie pomiarów
			[°]	[m]	[W]	[MHz]	[°]	[°]
1	OLE3071	ADU4518R8v06 Huawei	0	58,50	14206*	LTE 800 LTE 1800 LTE 2100	0,0 - 10,0 2,0 - 12,0 2,0 - 12,0	5,0 5,0 5,0
2		ADU4518R8v06 Huawei	0	58,50	14206*	LTE 800 LTE 1800 LTE 2100	0,0 - 10,0 2,0 - 12,0 2,0 - 12,0	5,0 5,0 5,0
3		ATR451607 Huawei	0	58,50	11221*	UMTS 900 LTE 2600 LTE 2600	0,0 - 10,0 0,0 - 10,0 0,0 - 10,0	5,0 5,0 5,0
4		ADU4518R8v06 Huawei	120	58,50	14206*	LTE 800 LTE 1800 LTE 2100	0,0 - 10,0 2,0 - 12,0 2,0 - 12,0	5,0 5,0 5,0
5		ADU4518R8v06 Huawei	120	58,50	14206*	LTE 800 LTE 1800 LTE 2100	0,0 - 10,0 2,0 - 12,0 2,0 - 12,0	5,0 5,0 5,0
6		ATR451607 Huawei	120	58,50	11221*	UMTS 900 LTE 2600 LTE 2600	0,0 - 10,0 0,0 - 10,0 0,0 - 10,0	5,0 5,0 5,0
7		ADU4518R8v06 Huawei	270	58,50	14206*	LTE 800 LTE 1800 LTE 2100	0,0 - 10,0 2,0 - 12,0 2,0 - 12,0	5,0 5,0 5,0
8		ADU4518R8v06 Huawei	270	58,50	14206*	LTE 800 LTE 1800 LTE 2100	0,0 - 10,0 2,0 - 12,0 2,0 - 12,0	5,0 5,0 5,0
9		ATR451607 Huawei	270	58,50	11221*	UMTS 900 LTE 2600 LTE 2600	0,0 - 10,0 0,0 - 10,0 0,0 - 10,0	5,0 5,0 5,0

\* moc EIRP łączna dla wszystkich częstotliwości anteny

## Warunki pomiarów

Pomiary w wyznaczonych punktach wykonano w następujących warunkach:

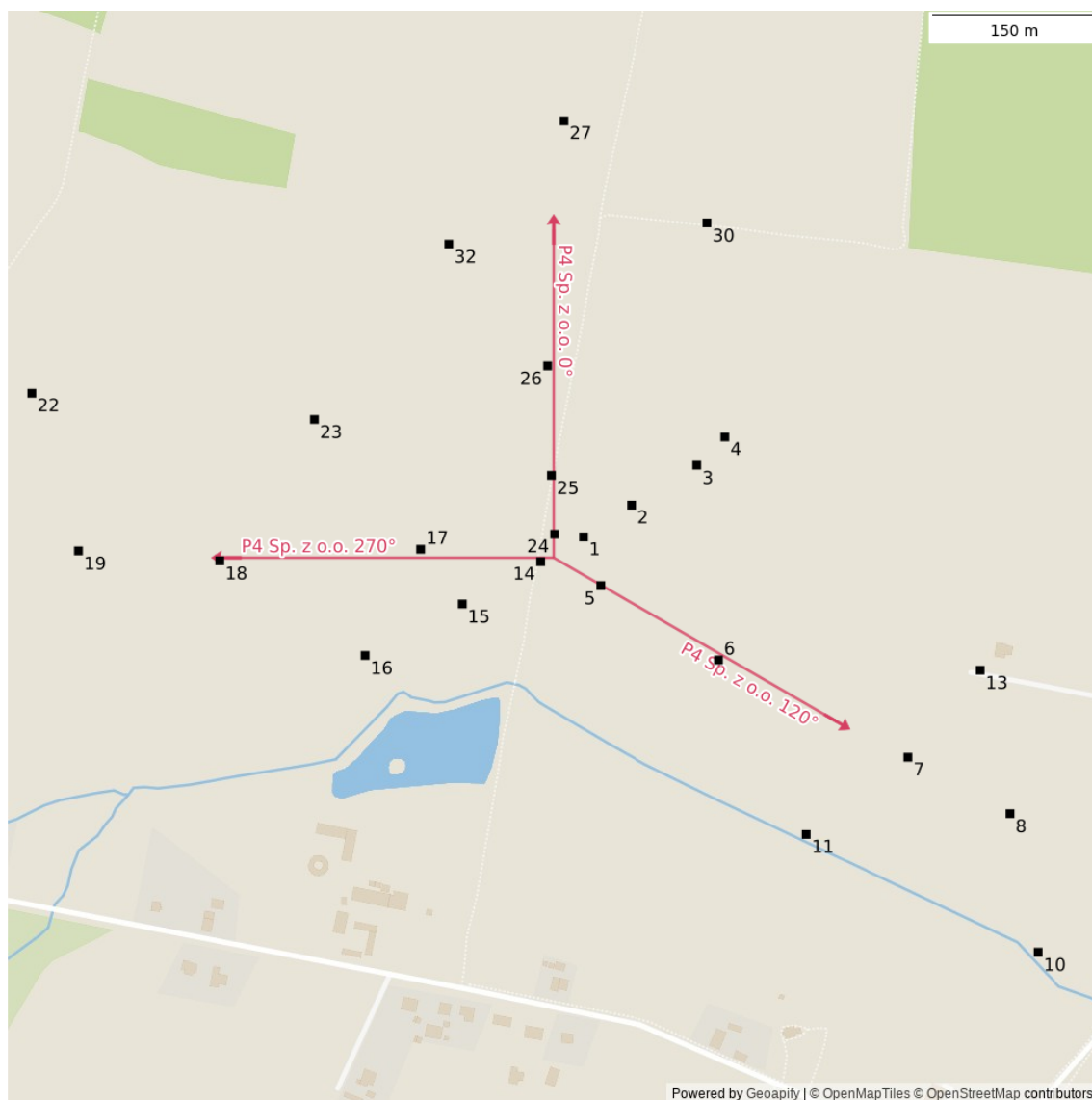
06.04.2023 10:00-11:30			
Warunki środowiskowe	Temperatura [°C]	Wilgotność [%]	Opady
Minimalna	2,7	59,1	brak
Maksymalna	5,3	62,4	

## Aparatura

Tabela 2: Aparatura

MIERNIKI I SONDY					
Lp.	Typ / Nazwa	Model	Producent	Próg detekcji	Świadectwo wzorcowania
1a	miernik	NBM-520	Narda		LWiMP/W/069/22 z dn. 08.03.2022 wydane przez LWiMP Politechniki Wrocławskiej
1b	sonda	EF6091	Narda	0,50	
POZOSTAŁE					
Lp.	Typ / Nazwa	Model	Producent	Świadectwo wzorcowania	
2	termohigrometr	P330	DOSTMANN	47102/2016 z dn. 28.11.2016 wydane przez LAB-EL ELEKTRONIKA LABORATORYJNA ANDRZEJ ŁOBZOWSKI, MARIA ŁOBZOWSKA SP. J.	

## Lokalizacje pionów pomiarowych



Rysunek 1: Plan terenu

## Wyniki pomiarów szerokopasmowych

Tabela 3: Zestawienie lokalizacji pionów pomiarowych oraz wyników pomiarów natężenia pola elektrycznego, pomiary szerokopasmowe

Nazwa	Data	Współrzędne geograficzne	E	WM <sub>E</sub>	H	WM <sub>H</sub>
		[°]	[ $\frac{V}{m}$ ]		[ $\frac{A}{m}$ ]	
1	06.04.2023	17,6183190 51,2783140	0,95	0,034	0,003	0,035
2	06.04.2023	17,6189500 51,2785760	0,81	0,029	0,002	0,029
3	06.04.2023	17,6198050 51,2789040	0,81	0,029	0,002	0,029

Ciąg dalszy na następnej stronie

Tabela 3: Zestawienie lokalizacji pionów pomiarowych oraz wyników pomiarów natężenia pola elektrycznego, pomiary szerokopasmowe (c.d.)

Nazwa	Data	Współrzędne geograficzne	E	WM <sub>E</sub>	H	WM <sub>H</sub>
		[°]	[ $\frac{V}{m}$ ]		[ $\frac{A}{m}$ ]	
4	06.04.2023	17,6201750 51,2791360	0,68	0,024	0,002	0,025
5	06.04.2023	17,6185450 51,2779150	0,95	0,034	0,003	0,035
6	06.04.2023	17,6200900 51,2773040	0,95	0,034	0,003	0,035
7	06.04.2023	17,6225790 51,2765050	0,81	0,029	0,002	0,029
8	06.04.2023	17,6239200 51,2760420	1,22	0,044	0,003	0,044
9	06.04.2023	17,6254540 51,2754040	1,49	0,053	0,004	0,054
10	06.04.2023	17,6242900 51,2749040	1,35	0,048	0,004	0,049
11	06.04.2023	17,6212430 51,2758710	0,95	0,034	0,003	0,035
12	06.04.2023	17,6256740 51,2761390	1,22	0,044	0,003	0,044
13	06.04.2023	17,6235280 51,2772200	0,95	0,034	0,003	0,035
14	06.04.2023	17,6177560 51,2781120	0,95	0,034	0,003	0,035
15	06.04.2023	17,6167260 51,2777640	0,81	0,029	0,002	0,029
16	06.04.2023	17,6154490 51,2773410	0,68	0,024	0,002	0,025
17	06.04.2023	17,6161790 51,2782130	0,81	0,029	0,002	0,029
18	06.04.2023	17,6135400 51,2781190	0,95	0,034	0,003	0,035
19	06.04.2023	17,6116840 51,2782000	1,22	0,044	0,003	0,044
20	06.04.2023	17,6092700 51,2780990	1,22	0,044	0,003	0,044
21	06.04.2023	17,6107070 51,2769180	0,95	0,034	0,003	0,035
22	06.04.2023	17,6110720 51,2794950	1,08	0,039	0,003	0,039
23	06.04.2023	17,6147840 51,2792800	0,95	0,034	0,003	0,035
24	06.04.2023	17,6179390 51,2783370	0,95	0,034	0,003	0,035

Ciąg dalszy na następnej stronie

Tabela 3: Zestawienie lokalizacji pionów pomiarowych oraz wyników pomiarów natężenia pola elektrycznego, pomiary szerokopasmowe (c.d.)

Nazwa	Data	Współrzędne geograficzne	E	WM <sub>E</sub>	H	WM <sub>H</sub>
		[°]	[ $\frac{V}{m}$ ]		[ $\frac{A}{m}$ ]	
25	06.04.2023	17,6178960 51,2788210	0,81	0,029	0,002	0,029
26	06.04.2023	17,6178470 51,2797200	0,81	0,029	0,002	0,029
27	06.04.2023	17,6180620 51,2817330	1,08	0,039	0,003	0,039
28	06.04.2023	17,6178370 51,2835990	1,35	0,048	0,004	0,049
29	06.04.2023	17,6192530 51,2830150	1,22	0,044	0,003	0,044
30	06.04.2023	17,6199390 51,2808940	0,95	0,034	0,003	0,035
31	06.04.2023	17,6163770 51,2827200	1,35	0,048	0,004	0,049
32	06.04.2023	17,6165490 51,2807200	0,95	0,034	0,003	0,035

## Podsumowanie

Na podstawie wyników pomiarów pola elektromagnetycznego przedstawionych w niniejszym raporcie o nr P4/127/2023 opracowanym przez A-CONNECT Anna Garwol-Porosa stwierdza się, że w otoczeniu stacji bazowej OLE3071 dopuszczalne poziomy pól elektromagnetycznych w środowisku, określone w przepisach wydanych na podstawie art. 122 ust. 1 ustawy z dnia 27 kwietnia 2001 r. – Prawo ochrony środowiska uznaje się za **dotrzymane**. Udokumentowano, że w żadnym pionie pomiarowym wartości wskaźnikowe WM<sub>E</sub> oraz WM<sub>H</sub> nie przekroczyły 1.

## Osoby odpowiedzialne

Wykonanie pomiarów: b.d.

Opracowanie sprawozdania: b.d.

Autoryzacja sprawozdania: Łukasz Porosa (Kierownik ds. jakości)